

АКАДЕМИЯ НАУК СССР
ОРДЕНА ЛЕНИНА ИНСТИТУТ ОБЩЕЙ И НЕОРГАНИЧЕСКОЙ ХИМИИ
им. Н.С. КУРНАКОВА

На правах рукописи

КНИЖНИК Аркадий Гершкович

МЕХАНИЗМ ФОРМИРОВАНИЯ КЛАСТЕРОВ ПАЛЛАДИЯ,
КАТАЛИЗИРУЮЩИХ ГИДРИРОВАНИЕ НЕПРЕДЕЛЬНЫХ
СОЕДИНЕНИЙ

(Специальность 02.00.04 – физическая химия)

А В Т О Р Е Ф Е Р А Т
диссертации на соискание ученой степени кандидата
химических наук

Москва 1981

Работа выполнена в лаборатории металлокомплексного катализа
ордена Ленина Института общей и неорганической химии
им. Н.С.Курнакова АН СССР и в лаборатории металлокомплексного
катализа в нефтепереработке и нефтехимии Электротогорского филиала
Всесоюзного научно-исследовательского института по переработке
нефти Миннефтехимпрома СССР.

Научные руководители:

кандидат химических наук старший научный сотрудник А.С.Беренблум,
доктор химических наук профессор И.И.Моисеев

Официальные оппоненты:

доктор химических наук профессор О.Н.Темкин,
кандидат химических наук старший научный сотрудник Л.К.Шубочкин.

Ведущее учреждение: Отделение Института химической физики
АН СССР (пос. Черноголовка, Московской области).

Заседания диссертации состоится 25 марта 1981 г. в 10
часов на заседании Специализированного совета по присуждению уче-
ной степени кандидата наук (К 002.37.01) в Институте общей и
неорганической химии им. Н.С.Курнакова АН СССР по адресу:
г.Москва, 117071, Ленинский проспект, 31.

С диссертацией можно ознакомиться в библиотеке химической ли-
тературы АН СССР.

Автореферат разослан 24 февраля 1981 г.

Ученый секретарь Совета,
кандидат химических наук

(И.Ф.АЛЕНЧИКОВА)

Алентчикова

© ИНСТИТУТ ОБЩЕЙ И НЕОРГАНИЧЕСКОЙ ХИМИИ
ИМ. Н.С. КУРНАКОВА, 1981

Актуальность темы. Процессы селективного гидрирования играют важную роль в нефтехимической промышленности. Однако сравнительно низкая удельная активность и невысокая селективность промышленных гетерогенных катализаторов не удовлетворяет современную нефтехимию. В последние годы значительно возрос интерес к металлокомплексным катализаторам гидрирования непредельных углеводородов, которые по этим показателям превосходят гетерогенные контакты. Из известных металлокомплексных катализаторов наиболее перспективны для промышленного использования в селективном гидрировании диенов и ацетиленов системы на основе комплексов ацетата палладия с трифенилфосфином. Опыт, накопленный при применении этих контактных растворов в условиях пилотных испытаний, показал, однако, что активность катализатора способна меняться в широком интервале под действием неконтролируемых факторов. Для управления процессом формирования комплексов, ответственных за катализ, необходимо располагать сведениями об их природе и механизме возникновения. Эти данные к началу настоящей работы отсутствовали.

Работа проводилась в соответствии с тематическим планом ИОНХ АН СССР на 1975-1980 г.г. и координационным планом научно-исследовательских опытных и проектных работ Миннефтехимпрома СССР по пиролизу и газоразделению на 1979-1985 г.г., утвержденным Зам. Министра Миннефтехимпрома СССР 28 мая 1979 г.

Цель работы. Целью работы явилось исследование механизма формирования и состава комплексов палладия, ответственных за каталитическое гидрирование непредельных углеводородов в системе трифенилфосфиновые комплексы ацетата палладия - водород, и разработка на этой основе металлокомплексного катализатора селективного гидрирования диеновых и ацетиленовых углеводородов.

Практическое значение работы. На основании проведенного исследования разработан металлокомплексный катализатор селективной гидроочистки пирогаза от ацетилена и предложена методика

приготовления катализатора. Разработанный катализатор успешно прошел пилотные испытания в Куйбышевском филиале ВНИИ ОС'а, обеспечив высокие активность и селективность в режиме непрерывной работы, и рекомендован для опытно-промышленных испытаний на Куйбышевском заводе синтетического спирта. По данным этого завода, ожидаемый экономический эффект от внедрения металлокомплексного катализатора составит 470 тыс. руб.

Научная новизна. В результате исследования стехиометрии и кинетики взаимодействия водорода с трифенилфосфиновыми производными ацетата палладия выяснен механизм восстановления комплексов палладия (II), выявлены и выделены кластерные комплексы палладия, ответственные за катализ гидрирования ненасыщенных соединений. Получены и охарактеризованы элементным анализом и физико-химическими методами исследования новые комплексы $(Ph_3P)_2Pd_2$ и $(Ph_3P)_2Pd_2(OAc)_2$, образующиеся при реакции $[Ph_3PPd(OAc)_2]_2$ с H_2 . Установлено, что эта реакция представляет собой автокаталитический процесс, в котором $(Ph_3P)_2Pd_2$ выполняет функции катализатора. Рассчитаны значения констант скоростей отдельных стадий реакции $[Ph_3PPd(OAc)_2]_2 + H_2$.

Установлено, что активные в гидрировании комплексы палладия образуются при взаимодействии комплекса $(Ph_3P)_2Pd_2$ и $HOAc$ со смесью водорода и кислорода. В присутствии $(Ph_3P)_2Pd_2$ и $HOAc$ H_2 реагирует с O_2 , давая пероксид водорода, которая окисляет этот комплекс до $[Pd(OAc)_2]_3$. При реакции $[Pd(OAc)_2]_3$ с H_2 и не вступившим в окисление $(Ph_3P)_2Pd_2$ формируется кластер состава $(PPh)_2Pd_5$, ответственный за катализ гидрирования ненасыщенных соединений. Этот кластер выделен в индивидуальном виде и охарактеризован элементным анализом и физико-химическими методами исследования.

Установлено, что растворы $(PPh)_2Pd_5$ в ДМФА катализируют при 20° и 1 атм реакции гидрирования олефинов, диенов, ацетиленов, нитросоединений, нитрозосоединений, оснований Нирба, азосоедине-

ний, органических перекисей, хинонов, алъдегидов, O_2 . При 70° и 1 атм O_2 эти растворы катализируют необычную для гомогенного катализа реакцию окислительного дегидрирования циклогексена кислородом в бензол. Исследована кинетика реакции, предложен механизм и рассчитаны значения констант скорости и равновесия отдельных стадий.

Методы исследования. Полученные в работе комплексы исследовались методами ИК- и УФ-спектроскопии (*Specord 75JR, Specord UV VIS*), ПМР-спектроскопии (*Bruker HX90*), рентгеноэлектронной спектроскопии (*VIEE -15*), магнитной восприимчивости. Контроль за протеканием реакций H_2 с комплексами и с непредельными соединениями осуществляли с помощью волюметрического метода, ИК- и УФ-спектроскопии (*UR -20, Specord UVS/Vis*), ГХ-анализа (ЛХМ-8МД). Кинетические данные реакции $[Ph_3Pd(OAc)_2]_2$ с H_2 обрабатывали на ЭВМ ЕС-1020.

Апробация работы. Результаты работы доложены на XIII Всесоюзном Чугаевском совещании по химии комплексных соединений (Москва, 1978), на I Всесоюзной конференции по металлоорганической химии (Москва, 1979), на У Всесоюзном совещании по гомогенному катализу (Алма-Ата, 1979), на Всесоюзном семинаре "Комплексы металлов платиновой группы в синтезе и катализе" (Черноголовка, 1980).

Публикации. Материалы диссертации опубликованы в восьми печатных работах.

Объем работы. Диссертационная работа состоит из введения, литературного обзора, результатов и их обсуждения (главы 2, 3, 4), экспериментальной части, выводов и списка цитируемой литературы из 139 названий. Работа изложена на 154 страницах машинописного текста и содержит 35 рисунков и 10 таблиц.

СОДЕРЖАНИЕ РАБОТЫ

Во введении обосновываются актуальность темы, цель исследования и кратко излагаются основные результаты.

В первой главе проведен анализ литературных данных по комплексам палладия в катализе гидрирования непредельных соединений. Показано, что хотя комплексы палладия в катализе реакций гидрирования исследованы значительно меньше, чем соединения других переходных металлов (родий, иридий, кобальт и др.), за последние годы накопился определенный материал в этой области, в частности, относящийся к комплексам палладия с фосфиновыми лигандами, отличающимся сравнительно высокой селективностью и стабильностью в катализическом гидрировании. Из известных катализаторов этого типа наиболее активны и селективны контакты на основе ацетатных комплексов палладия. Однако, как для этой, так и для других катализических систем на основе соединений палладия, практически отсутствуют экспериментальные данные о природе и механизме формирования в них комплексов, ответственных за катализ гидрирования органических соединений. Тем не менее, в большинстве работ постулируется, что такими комплексами являются гидриды палладия.

Вторая глава посвящена исследованию реакции $[Ph_3PPd(OAc)_2]_2$ с H_2 . Растворы этого комплекса в органических растворителях (толуол, бензол, ДМФА, спирт, хлористый метилен, ацетонитрил) поглощают ~ 1 моль H_2 на 1 г-атом Pd , выделяя 2 моля $HOAc$ в расчете на 1 г-атом Pd . После проведения реакции в CH_2Cl_2 выделен димерный диамагнитный комплекс состава $(Ph_3P)_2Pd_2$. По данным ИК- и ПМР-спектроскопии в этом соединении нет связи $Pd-H$ а данные РЭС указывают на низкую степень окисления атомов Pd в этом комплексе (табл. I).

По-видимому, образование биядерных молекул $(Ph_3P)_2Pd_2$ способствует биядерное строение восстановляемых комплексов $Pd(\Pi)$, содержащих мостиковые ацидолиганды. В пользу этого предположения

Таблица I.

Комплексы палладия, образующиеся в системе $\text{Pd}/\text{OAc}_2\text{-PPh}_3\text{-H}_2$

Методы исследования	Элементный анализ	(найдено выписано)	Молеку- лярная форма	ИК-спектр ^Х	РЭС, $\vartheta_{\text{Б}}$ ^{XX}	ПМР, δ , м.д.	Магнитная восприим- чивость
комплекс	C : H : P : Rd	(найдено: но/бы- чески)	massa : (найдено- но/бы- чески)	1580 (C=O); 337, I 13I, 2	336, 8 13I, 2	7, 5	диамагнитен
$(\text{PPh}_3)_2 \text{Pd}_2$	58,4 58,7	4,7.. 4,1	8,2 8,4	28,2 28,8	700 736	500, 510, 520 (P-C)	
$(\text{PPh}_3)_2 \text{Pd}_2 (\text{OAc})_2$	56,2 56,2	4,6 4,2	7,0 7,3	24,5 24,8	800 854	1580 (C=O); 337, I 13I, 2 340 (Pd=O); 490, 500, 510 (P-C)	-
$(\text{PPh}_3)_2 \text{Pd}_5$	19,6 19,3	1,5 1,3	8,3 8,3	70,0 71,1	495, 505, 515 (P-C)	335, 9 130, 6	диамагнитен

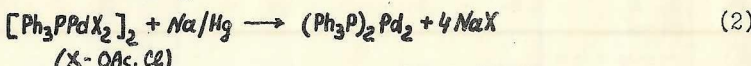
Х.) ИК-спектры комплексов синтез К.Х.Н. Г.Я.Мазо в ИОНХ АН СССР (лаб. проф. Р.Н. Шелокова.)

XX.) Исследование комплексов методом РЭС проведено Я.В. Салтыков в ИОНХ АН СССР
(лаб. д.х.н. В.И. Нерфедова).

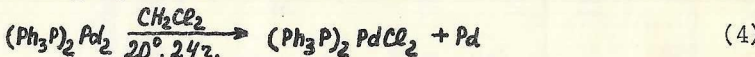
свидетельствует то, что из моноядерного $(Ph_3P)_2Pd(OAc)_2$ при реакции с H_2 получен моноядерный $(Ph_3P)_4Pd$ (50° , 40 атм H_2):



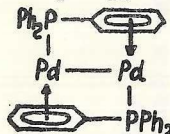
Бис(трифенилфосфин)дипалладий получен нами также при использовании вместо H_2 другого восстановителя, например, амальгамы натрия (20° , CH_2Cl_2):



Комплекс $(Ph_3P)_2Pd_2$ окисляется Bz_2 и CH_2Cl_2 . При этом выделены известные соединения Pd (II) $[Ph_3PPd(Bz_2)]_2$ и $(Ph_3P)_2PdCl_2$:



На основании литературных данных о природе и прочности связи $Pd-Pd$ в комплексах палладия (0) сделано предположение, что атомы палладия в $(Ph_3P)_2Pd_2$ связаны не только друг с другом и атомами P трифенилфосфина, но и с фенильными кольцами PPh_3 , например, по схеме:



Комплекс $(Ph_3P)_2Pd_2$ легко окисляется соединением Pd (II) $[Ph_3PPd(OAc)_2]_2$.

Стехиометрию этой реакции исследовали ИК-спектроскопически. При добавлении к раствору $[Ph_3PPd(OAc)_2]_2$ комплекса $(Ph_3P)_2Pd_2$ оптическая плотность полосы поглощения концевой ацетатной группы $[Ph_3PPd(OAc)_2]_2$ при 1630 cm^{-1} линейно уменьшается и полоса исчезает при достижении мольного соотношения комплексов I:I (рис. I). После реакции выделен комплекс состава $(Ph_3P)_2Pd_2(OAc)_2$ (табл. I).



Значение $E_{Pd3d5/2}$ в РЭС этого комплекса (табл. I) занимает промежуточное значение между наблюдаемыми для комплексов палладия (0) в спектре $(Ph_3P)_2Pd_2$ и палладия (II) в спектре $[Ph_3PPd(OAc)_2]_2$.

Полученные результаты позволяют предложить для $(Ph_3P)_2Pd_2(OAc)_2$ следующее строение:

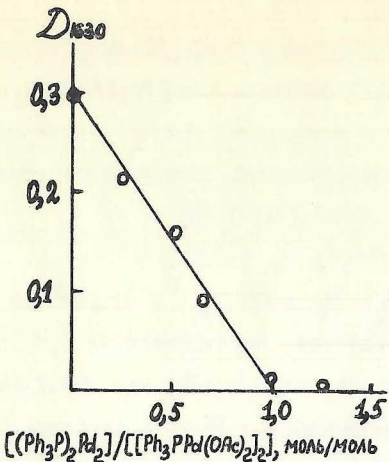


Рис.1. Изменение оптической плотности полосы поглощения концевой ацетатной группы $\nu(\text{CO}) = 1630 \text{ см}^{-1}$ комплекса $[\text{Ph}_3\text{P}\text{Pd}(\text{OAc})_2]_2$ при добавлении $(\text{Ph}_3\text{P})_2\text{Pd}_2$. (20° , CH_2Cl_2 , $[(\text{Ph}_3\text{P}\text{Pd}(\text{OAc})_2)_2]_0 = 4 \cdot 10^{-3}$ моль/л).

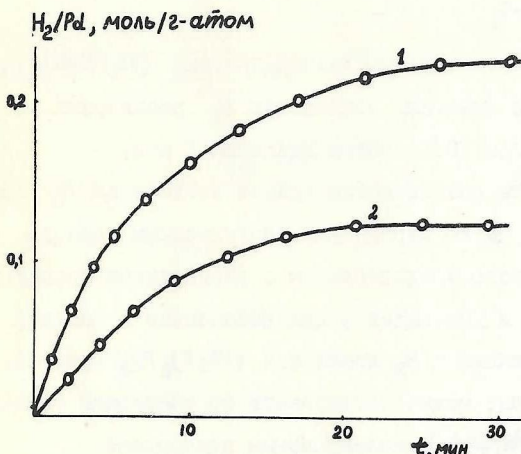
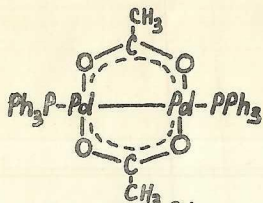


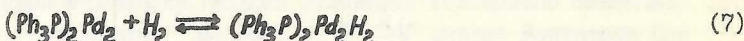
Рис.2. Кинетические кривые поглощения H_2 раствором $(\text{Ph}_3\text{P})_2\text{Pd}_2$ в CH_2Cl_2 (20° , общее давление 1 атм).
 $I - [(Ph_3P)_2Pd_2]_0 = 5,1 \cdot 10^{-3}$ моль/л; $2 - [(Ph_3P)_2Pd_2]_0 = 6,5 \cdot 10^{-3}$ моль/л, объемное соотношение $\text{H}_2/\text{Ar} = 1$.



на I г-атом Pd и выделен комплекс $(Ph_3P)_2Pd_2$:



При реакции $[Ph_3PPd(OAc)_2]_2$ с H_2 в CH_2Cl_2 , в отличие от большинства исследованных растворителей, поглощается не 1,0, а 1,2 моля H_2 на I г-атом Pd . Это связано с тем, что $(Ph_3P)_2Pd_2$, возникающий при реакции $[Ph_3PPd(OAc)_2]_2$ с H_2 , в растворе CH_2Cl_2 обратимо поглощает H_2 (рис.2):



Реакция подчиняется первому порядку по концентрациям $(Ph_3P)_2Pd_2$ и H_2 . Из данных рис.2 найдены значения $k_7 = 26 \text{ л} \cdot \text{моль}^{-1} \cdot \text{мин}^{-1}$ и $k_{-7} = 0,079 \text{ мин}^{-1}$.

С целью изучения механизма взаимодействия $[Ph_3PPd(OAc)_2]_2$ с водородом исследовали кинетику поглощения H_2 растворами этого комплекса в CH_2Cl_2 при 20° и общем давлении I атм.

Установлено, что кинетические кривые поглощения H_2 имеют S-образный вид с четко выраженным индукционным периодом (τ), протяженность которого увеличивается с уменьшением концентрации $[Ph_3PPd(OAc)_2]_2$ или H_2 и уменьшается при добавлении в раствор $[Ph_3PPd(OAc)_2]_2$ до реакции с H_2 комплекса $(Ph_3P)_2Pd_2$ (рис.3).

Полученные данные можно согласовать со следующей схемой восстановления $[Ph_3PPd(OAc)_2]_2$ молекулярным водородом:

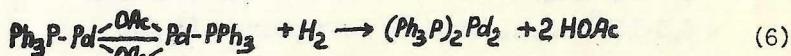
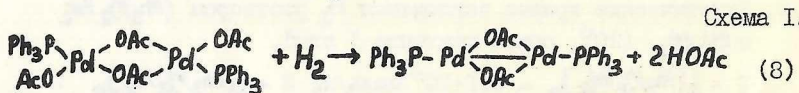
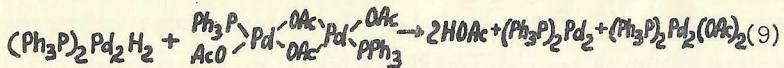
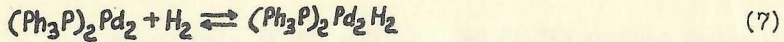


Схема I.



В относительно медленной стадии (8) образуется комплекс палладия (I), быстро реагирующий с водородом, давая $(Ph_3P)_2Pd_2$ (реакция 6). В стадии (5) расходуется одна молекула $(Ph_3P)_2Pd_2$ и получаются две молекулы $(Ph_3P)_2Pd_2(OAc)_2$, гидрирование которых (реакция 6) приводит к двум молекулам $(Ph_3P)_2Pd_2$. Аналогично, после расходования в стадии (7) одной молекулы $(Ph_3P)_2Pd_2$ в стадиях (9) и (6) появляются две молекулы $(Ph_3P)_2Pd_2$.

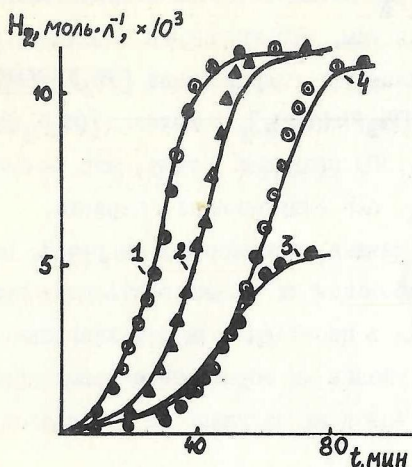


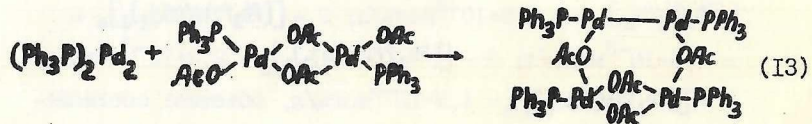
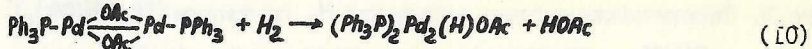
Рис.3. Кинетические кривые поглощения H_2 раствором $[(Ph_3P)_2Pd(OAc)_2]_2$ в CH_2Cl_2 . (Кривые получены путем расчета на ЭВМ, точками обозначены экспериментальные данные. 20° , общее давление 1 атм). 1 - $[(Ph_3P)_2Pd(OAc)_2]_0 = 4,6 \cdot 10^{-3}$ моль/л, $[(Ph_3P)_2Pd_2]_0 = 2,6 \cdot 10^{-4}$ моль/л; 2 - $[(Ph_3P)_2Pd(OAc)_2]_0 = 4,6 \cdot 10^{-3}$ моль/л; 3 - $[(Ph_3P)_2Pd(OAc)_2]_0 = 2,2 \cdot 10^{-3}$ моль/л; 4 - $[(Ph_3P)_2Pd(OAc)_2]_0 = 4,9 \cdot 10^{-3}$ моль/л, объемное соотношение $H_2 / Ar = 1:1$.

Это, а также реакции $(Ph_3P)_2Pd_2$ или $(Ph_3P)_2Pd_2H_2$ с исходным комплексом палладия (II) [реакции (5) и (9)] обусловливают автокаталитический характер реакции $[Ph_3P Pd(OAc)_2]_2$ с H_2 . Из реакций (5), (6) и (7), (9), (6) складывается весь наблюдаемый процесс.

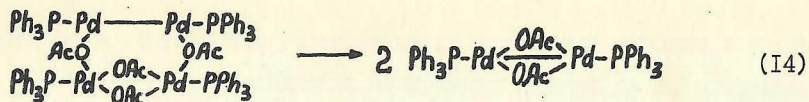
В рамках схемы I получает объяснение увеличение τ при уменьшении концентрации $[Ph_3P Pd(OAc)_2]_2$ или H_2 , поскольку при этом уменьшается скорость реакции (8). Сокращение τ при добавлении $(Ph_3P)_2Pd_2$ в раствор $[Ph_3P Pd(OAc)_2]_2$ до реакции с H_2 связано катализитическому действию $(Ph_3P)_2Pd_2$.

Способность $(Ph_3P)_2Pd_2H_2$ катализировать восстановление $[Ph_3P Pd(OAc)_2]_2$ подтверждается тем, что гидридные комплексы родия, как показано нами, катализируют гидрирование $[Ph_3P Pd(OAc)_2]_2$. Так, введение в раствор $[Ph_3P Pd(OAc)_2]_2$ комплекса $[(Ph_3P)_2Rh(H_2)OAc]_2$ (соотношение $Rh/Pd = 1:50$) приводит к тому, что комплекс $Pd(II)$ реагирует с H_2 без индукционного периода.

Анализ кинетических данных, приведенных на рис.3, на ЭВМ^X) методом числового моделирования не только подтвердил предложенный механизм, но и привел к необходимости детализировать механизм реакций (5) и (6), указав на образование новых промежуточных соединений, которые из-за их лабильности не удалось выделить в синтетических опыта:



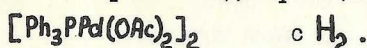
x) Составление программы и расчет выполнены к.х.н. Е.А.Капманом (лаб. к.х.н. Тригорьева А.А.) во ВНИИ ОС'е, г.Москва.



Как видно из рис.3, рассчитанные на ЭВМ кинетические кривые хорошо согласуются с полученными экспериментально. Значения констант скоростей отдельных стадий приведены в табл.2.

Таблица 2.

Константы скорости стадий реакции



№ реак- ции	8	9	10	11	12	13	14
k	I, I4 л. моль ⁻¹ · мин ⁻¹	692 л. моль ⁻¹ · мин ⁻¹	235 л. моль ⁻¹ · мин ⁻¹	I, I0 мин ⁻¹	I, I4 л. моль ⁻¹ · мин ⁻¹	39,0 л. моль ⁻¹ · мин ⁻¹	0,38 мин ⁻¹

Сопоставление констант скоростей показывает, что наиболее медленно протекает реакция H_2 с комплексом $\text{Pd}(II) [\text{Ph}_3\text{P}\text{Pd}(\text{OAc})_2]_2$. Значительно быстрее гидрируется комплекс $\text{Pd}(I) (\text{Ph}_3\text{P})_2\text{Pd}_2(\text{OAc})_2$. Более высокая реакционная способность по отношению к H_2 комплекса $\text{Pd}(I)$ может быть связана с тем, что в этом случае реализуется механизм окислительного присоединения H_2 . Этому благоприятствует как низкая степень окисления атомов палладия, так и димерное строение комплекса.

Окислительное присоединение H_2 к соединениям $\text{Pd}(II)$ термодинамически невыгодно, так как окислительное состояние $\text{Pd}(IV)$ энергетически лежит достаточно высоко. Молекула H_2 является слишком слабым окислителем по отношению к $\text{Pd}(II)$. Напротив, в случае двухядерных группировок Pd_2^{2+} присоединение H_2 представляется вполне возможным, поскольку в итоге должны возникнуть комплексы $\text{Pd}(II)$.

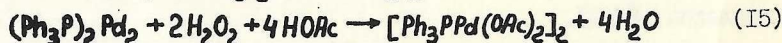
Реакции между соединениями $\text{Pd}(II)$ и комплексами Pd в более низкой степени окисления протекают сравнительно быстро. Вероят-

но, эти реакции происходят путем переноса электронов, сопровождающегося затем перераспределением лигандов.

В главах 3 и 4 изложено исследование путей формирования и состава комплексов, ответственных за катализ гидрирования непредельных соединений. Установлено, что ни растворы $[\text{Ph}_3\text{PPd(OAc)}_2]_2$ после обработки их H_2 , тщательно очищенным от следов O_2 , ни растворы $(\text{Ph}_3\text{P})_2\text{Pd}_2$ не катализируют гидрирование кратных связей углерод-углерод. Для появления каталитической активности у растворов $[\text{Ph}_3\text{PPd(OAc)}_2]_2$, обработанных H_2 , необходим контакт этих растворов с O_2 . Аналогичные результаты получены при использовании растворов $(\text{Ph}_3\text{P})_2\text{Pd}_2$ в присутствии HOAc .

Однако, раздельная обработка комплексов в ДМФА сначала O_2 , а затем H_2 не приводит к появлению каталитической активности. Каталитически активные растворы возникают только после контакта восстановленных растворов одновременно с H_2 и O_2 . Из рис. 4 видно, что каталитическая активность растворов растет симбатно с количеством поглощенной смеси водорода и кислорода. При этом поглощенные газы расходуются в стехиометрическом соотношении, отвечающем образованию воды (данные волюметрии). Кроме воды в системе в небольших количествах получается перекись водорода (качественные реакции с KJ и TiCl_4). Добавление H_2O_2 к содержащему HOAc раствору $(\text{Ph}_3\text{P})_2\text{Pd}_2$ в атмосфере H_2 также приводит к появлению комплексов, активных в гидрировании непредельных соединений. При этом контакта растворов со смесью H_2-O_2 для появления каталитической активности не требуется.

Генерирующаяся в системе H_2O_2 в присутствии HOAc окисляет $(\text{Ph}_3\text{P})_2\text{Pd}_2$. Выделены в индивидуальном виде продукты окисления — комплексы $[\text{Ph}_3\text{PPd(OAc)}_2]_2$ и $[\text{Pd(OAc)}_2]_3$:



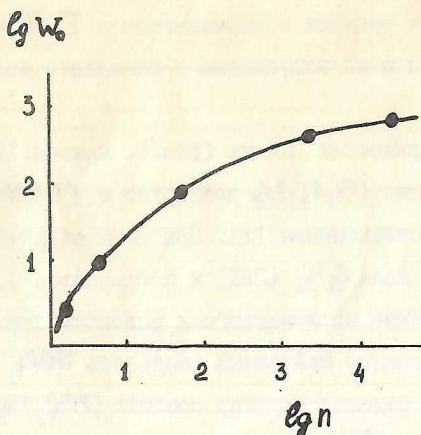


Рис.4. Зависимость начальной удельной скорости гидрирования пентадиена-1,3 (моль/г-атом Pd · мин) от количества молей (n) смеси состава $H_2/O_2 = 2$, поглощенных раствором $(Ph_3P)_2Pd_2$ в расчете на 1 г-атом Pd (ДМФА, 20° , общее давление 1 атм, $[(Ph_3P)_2Pd_2]_0 = 5 \cdot 10^{-5}$ моль/л).

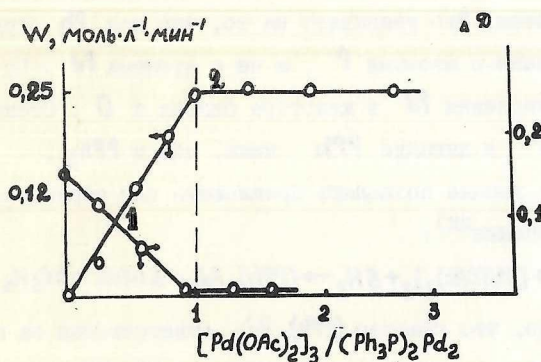


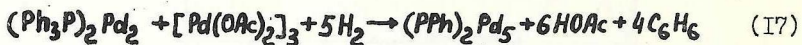
Рис.5. Зависимость изменения оптической плотности максимума (412 мкм) полосы поглощения $(Ph_3P)_2Pd_2$ ($1 - [(Ph_3P)_2Pd_2]_0 = 8 \cdot 10^{-5}$ моль/л) и скорости гидрирования пентадиена-1,3 ($2 - [(Ph_3P)_2Pd_2]_0 = 5 \cdot 10^{-5}$ моль/л) от мольного отношения $[Pd(OAc)_2]_3 / [(Ph_3P)_2Pd_2]$ при реакции $[Pd(OAc)_2]_3$ с $(Ph_3P)_2Pd_2$ и H_2 . (ДМФА, 20° , общее давление 1 атм).

Комплекс, катализирующий гидрирование непредельных углеводородов, формируется при реакции образовавшегося $[Pd(OAc)_2]_3$ с молекулярным водородом и не вступившим в окисление комплексом $(Ph_3P)_2Pd_2$.

Из спектрофотометрических данных (рис.5, кривая I) следует, что в атмосфере водорода $(Ph_3P)_2Pd_2$ реагирует с $[Pd(OAc)_2]_3$, расходуясь в мольном соотношении 1:1. При этом образуется 6,0 моля $HOAc$ (ГХХ), 3,0 моля C_6H_6 (ГХХ) и поглощается 4,5 моля H_2 . Таким образом, количество поглощающегося водорода совпадает с необходимым для образования найденных количеств $HOAc$ и C_6H_6 .

После реакции был выделен кластер состава $(PPh)_2Pd_5^{xx}$ (табл.I). В ИК-спектре $(PPh)_2Pd_5$ наблюдаются полосы поглощения связи $P-C$ и отсутствуют полосы поглощения в области 1560–2200 cm^{-1} , характерные для карбонильных групп ацетатных лигандов, координированного ДМФА, CO и для связи $Pd-H$. При реакции с Br_2 в отличие от известных фенильных комплексов палладия бромбензол не образуется. Это указывает на то, что все Ph -группы в $(PPh)_2Pd_5$ связаны с атомами P , а не с атомами Pd . По данным РЭС степень окисления Pd в кластере близка к 0. Степень окисления атомов P в лиганде PPh ниже, чем в PPh_3 .

Полученные данные позволяют предложить для образования $(PPh)_2Pd_5$ уравнение^{xx}:

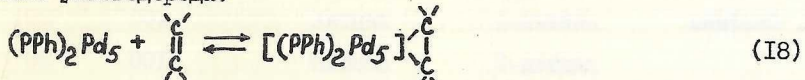


Установлено, что кластер $(PPh)_2Pd_5$ ответственен за катализическое гидрирование непредельных соединений. Об этом свидетельствует совпадение скорости гидрирования пентадиена-1,3 (в расчете на 1 г-атом Pd) растворами $(PPh)_2Pd_5$ и растворами, содержащими Т.к. из-за низкой растворимости молекулярную массу кластера определить не удалось, для его обозначения используется элементарная формула $(PPh)_2Pd_5$.

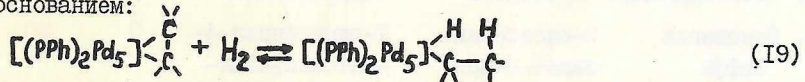
ж.) Заниженное против стехиометрии реакции (I7) количество поглощенного H_2 и выделяющегося C_6H_6 , возможно, связано с тем, что наряду с $(PPh)_2Pd_5$ в системе формируются соединения типа $(PPh_n)_2Pd_5$, где $n = 2, 3$.

щими $[Pd(OAc)_2]_3$ и $(Ph_3P)_2Pd_2$ (мольное соотношение комплексов I:I) в атмосфере H_2 . Кроме того, как видно из рис.5, катализически активные комплексы формируются в системе $[Pd(OAc)_2]_3 - (Ph_3P)_2Pd_2 - H_2$ при том же соотношении реагентов, что и кластер $(PPh)_2Pd_5$. После опытов по катализическому гидрированию циклопентадиена в цикlopентан из раствора (ДМФА) с количественным выходом выделен исходный комплекс $(PPh)_2Pd_5$.

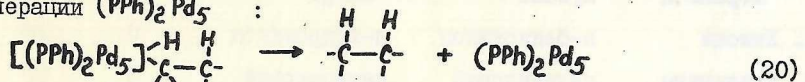
Проведенное исследование показало, что в отличие от общепринятых представлений, ответственным за катализ в системах на основе комплексов ацетата палладия с трифенилфосфином является не гидридный комплекс палладия, а кластер состава $(PPh)_2Pd_5$. Это соединение в отсутствие органического субстрата не поглощает водород, однако, катализирует гидрирование непредельных соединений. По-видимому, низкая степень окисления палладия в кластере благоприятствует окислительному присоединению непредельного углеводорода:



Образовавшийся комплекс, в котором степень окисления палладия выше, чем в $(PPh)_2Pd_5$, вероятно, может легко подвергаться гидрированию молекулярным H_2 по гетеролитическому механизму, при этом H^+ акцептируется алкильным лигандром, являющимся сильным основанием:



Внутримолекулярный перенос координированного H к атому C , связанному с палладием, приводит к образованию парафина и регенерации $(PPh)_2Pd_5$:



Из стадий типа (18), (19) и (20), вероятно, складывается катализический процесс гидрирования непредельных соединений.

Кластер $(PPh_3)_2 Pd_5$ катализирует гидрирование широкого круга органических соединений (табл.3). С наибольшими скоростями проходит гидрирование непредельных углеводородов. Для гидрирования диеновых и ацетиленовых углеводородов в присутствии $(PPh_3)_2 Pd_5$ характерна селективность, близкая к 100%, при конверсиях, достигающих 95–98% (рис.6). Это делает кластер $(PPh_3)_2 Pd_5$ перспективным для практического использования в процессах селективного гидрирования диенов и ацетиленов.

Таблица 3.

Каталитические свойства диметилформамидных растворов $(PPh_3)_2 Pd_5$ в гидрировании органических соединений.

№	Класс соединений	Субстрат	Продукт гидрирования	W_0 , моль/г-	атом $Pd \cdot \text{мин}$	$^{\circ}\text{C}$
1.	Ацетилены	фенилацетилен	стирол	120		20
2.	Диены	пентадиен-1,3	пентен-1 и пентен-2	1000		20
3.	Олефины	пентен-1 пентен-2	пентан	100		20
4.	Нитросоединения	никриновая кислота	2,4,6-триаминофенол	2		20
5.	Нитрозосоединения	α -нитрозо- β -нафтол	α -амино- β -нафтол	3		20
6.	Азосоединения	азобензол	гидразобензол	2		20
7.	Основания Шиффа	2-оксибензилиден-4-метоксицифениламин	2-оксибензил-4-метоксицифениламин	2		20
8.	Органические перекиси	перекись кумола	кумиловый спирт	2		40
9.	Хиноны	п-бензохинон	п-гидрохинон	5		20
10.	Альдегиды	салциловый альдегид	салциловый спирт	2		20

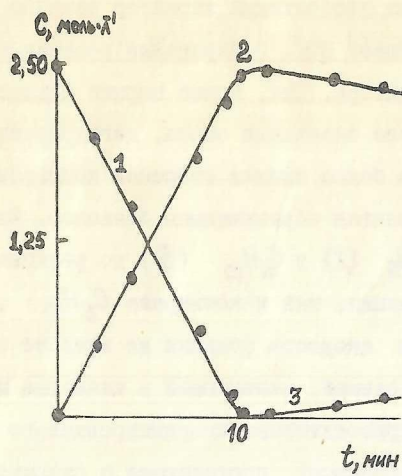
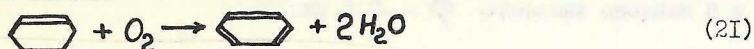


Рис.6. Кинетические кривые гидрирования C_5H_8 в присутствии $(PPh)_2PdS$ (20° , 1 атм, ДФА, $[(PPh)_2PdS]_0 = 5 \cdot 10^{-5}$ моль/л, $[C_5H_8]_0 = 2,5$ моль/л). 1 - C_5H_8 , 2 - C_5H_{10} , 3 - C_5H_{12} .

Кластерный катализатор на основе $(PPh)_2PdS$ испытывался на пилотной установке в процессе селективного гидрирования ацетилены в пирогазе. Испытания показали, что этот катализатор проявляет высокую активность и селективность. Так, при объемной скорости 12000 ч⁻¹, 90° и 10 атм катализатор обеспечивает исчерпывающее (остаточное содержание <0,0001 об.%) гидрирование ацетиlena в пирогазе. При этом вследствие высокой селективности содержание этилена в пирогазе не только не уменьшается, но и несколько увеличивается за счет образующегося при гидрировании ацетиlena. После 400-часовых испытаний активность и селективность катализатора не изменяются.

Кроме реакций гидрирования раствором $(PPh)_2PdS$ в мягких условиях (70° , 1 атм O_2) катализируют необычную для гомогенного катализа реакцию окислительного дегидрирования циклогексена кислородом в бензоле:



Обнаружено, что несмотря на необратимый характер реакции (21), конверсия C_6H_{10} не превышает 80%. Прекращение реакции не связано с разрушением катализатора. Так, новые порции циклогексена, добавленные к раствору после окончания опыта, дегидрируются, хотя и с меньшей скоростью и до более низких степеней конверсии. Установлено, что реакция тормозится образующимся бензолом. Введение C_6H_6 (P) в раствор $(PPh)_2Pd_5$ (I) и C_6H_{10} (S) до реакции с O_2 уменьшает как скорость реакции, так и конверсию C_6H_{10} . В интервале P_{O_2} от I до 0,25 атм скорость реакции не зависит от P_{O_2} . Эти данные согласуются со схемой, включающей в качестве медленной стадии окислительное присоединение координированного C_6H_{10} к кластеру $(PPh)_2Pd_5$, по-видимому, протекающее с разрывом связи C-H и образованием связей Pd-C и Pd-H. Получающееся соединение $(I \cdot S)'$ быстро, в отличие от некоординированного C_6H_{10} , реагирует с O_2 , при этом регенерируется $(PPh)_2Pd_5$ и получаются C_6H_6 и H_2O . Кластер $(PPh)_2Pd_5$ в присутствии C_6H_6 обратимо образует комплекс $(I \cdot P)$, неактивный в дегидрировании:



Схема 2.

$$(22)$$



$$(23)$$



$$(24)$$



$$(25)$$

Схеме 2 при $[S]_0 \gg K_{25}$ и $K_{25} \ll K_{22}$, удовлетворяет уравнение:

$$\frac{[P]}{t} = \Phi [I]_0 + [S]_0 \frac{1}{t} \ln \frac{[S]_0}{[S]_0 - [P]} \quad (26)$$

где $\Phi = k_{23}/(1 - K_{22}/K_{25})$, $K_{22} = \frac{k_{-22}}{k_{22}}$, $K_{25} = \frac{k_{-25}}{k_{25}}$

Экспериментальные данные линеаризуются в координатах

$(\frac{[P]}{t}; \frac{1}{t} \ln \frac{[S]_0}{[S]_0 - [P]})$ (рис. 7, 8), свидетельствуя об удовлетворительном описании экспериментальных данных уравнением (26). Из рис. 7 и 8 найдено значение $\Phi = -7,5 \text{ мин}^{-1}$.

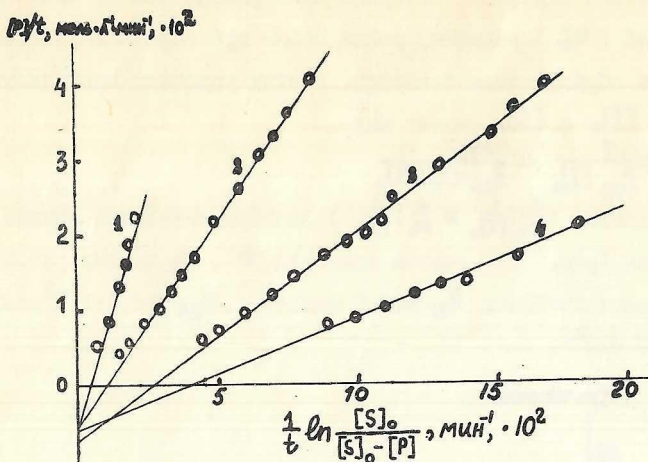


Рис.7. Зависимость $\frac{[P]}{t}$ от $\frac{1}{t} \ln \frac{[S]_0}{[S]_0 - [P]}$ для реакции (2I);
 (ДМДА, 70°, общее давление 1 атм, $[I]_0 = 8,35 \cdot 10^{-4}$ моль/л)
 1 - $[S]_0 = 1,00$ моль/л; 2 - $[S]_0 = 0,50$ моль/л;
 3 - $[S]_0 = 0,25$ моль/л; 4 - $[S]_0 = 0,12$ моль/л.

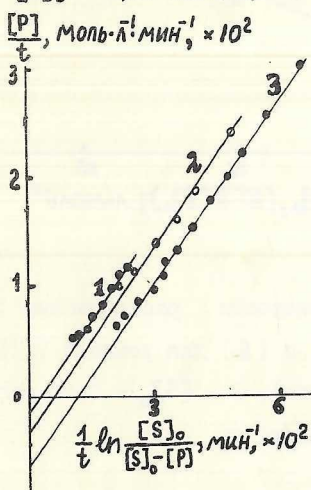


Рис.8. Зависимость $\frac{[P]}{t}$ от $\frac{1}{t} \ln \frac{[S]_0}{[S]_0 - [P]}$ для реакции (2I);
 (ДМДА, 70°, общее давление 1 атм, $[S]_0 = 0,50$ моль/л).
 1 - $[I]_0 = 2,10 \cdot 10^{-4}$ моль/л; 2 - $[I]_0 = 4,18 \cdot 10^{-4}$ моль/л;
 3 - $[I]_0 = 8,35 \cdot 10^{-4}$ моль/л.

Значения отдельных констант были рассчитаны из начальных скоростей (w_0) реакции, когда можно пренебречь ингибированием процесса образующимся бензолом. В этих условиях зависимость w_0 от $[I]_0$ и $[S]_0$ имеет вид:

$$\frac{1}{w_0} = \frac{1}{k_{23} \cdot [I]_0} + \frac{K_{22}}{k_{23} \cdot [I]_0 \cdot [S]_0} \quad (27)$$

В координатах $(\frac{1}{w_0}; \frac{1}{[S]_0})$ экспериментальные данные линеаризуются (рис.9). С учетом значения Φ , из данных рис.9 найдены значения констант $K_{22} \approx 0,5 \text{ моль} \cdot \text{л}^{-1}$, $K_{25} \approx 2,6 \cdot 10^{-2} \text{ моль} \cdot \text{л}^{-1}$, $k_{23} \approx 150 \text{ мин}^{-1}$.

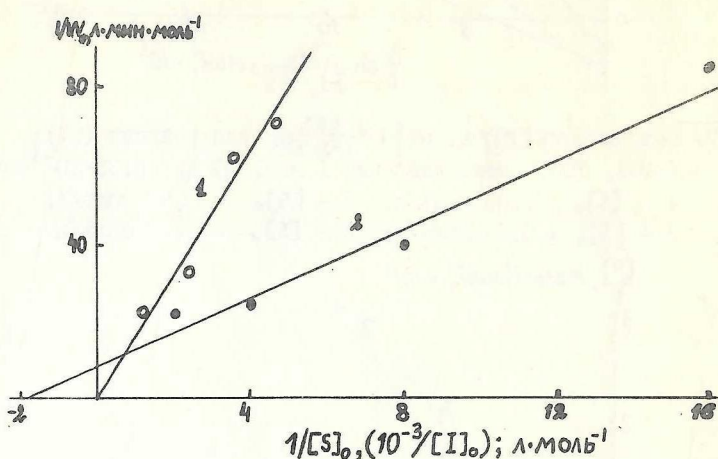


Рис.9. Зависимость начальной скорости расходования S от исходных концентраций (I) и (S) для реакции (2I) (ДМДА, 70° , общее давление 1 атм.). 1 - $[S]_0 = 0,50 \text{ моль/л}$; 2 - $[I]_0 = 8,35 \cdot 10^{-4} \text{ моль/л}$.

ВЫВОДЫ

1. С целью выяснения природы комплексов, ответственных за катализ гидрирования непредельных углеводородов в растворах, содержащих ацетат палладия и трифенилфосфин, и разработки методики приготовления контактного раствора для гидроочистки пирогаза от примесей ацетилена исследованы стехиометрия, кинетика и механизм реакции диацетато-*M*-диацетатобис(трифенилфосфин)дипалладия (II) с водородом, выделены образующиеся промежуточные соединения и кластер, ответственный за катализ. Выявлены условия, обеспечивающие превращения исходных веществ в этот кластер с максимальным выходом, и предложена апробированная в масштабах пилотной установки методика приготовления катализатора для гидрирования ацетилена в пирогазе.

2. При исследовании взаимодействия $[Ph_3PPd(OAc)_2]_2$ с H_2 впервые получен двуядерный комплекс палладия (0) состава $(Ph_3P)_2Pd_2$. При реакции этого комплекса с $[Ph_3PPd(OAc)_2]_2$ впервые получен новый комплекс палладия (I) $(Ph_3P)_2Pd_2(OAc)_2$. Обнаружена способность растворов $(Ph_3P)_2Pd_2$ обратимо реагировать с H_2 , давая $(Ph_3P)_2Pd_2H_2$. Исследована кинетика этой реакции и рассчитаны значения констант скоростей.

3. Исследование кинетики реакции $[Ph_3PPd(OAc)_2]_2$ с H_2 привело к выводу, что процесс протекает по автокатализитическому механизму, в котором комплексы $(Ph_3P)_2Pd_2$ и $(Ph_3P)_2Pd_2H_2$ катализируют восстановление исходного комплекса палладия (II). Предложенный на основании кинетических данных механизм реакции удовлетворительно описывает экспериментальные данные. С помощью ЭВМ рассчитаны константы скорости отдельных стадий этого процесса.

4. Установлено, что, в отличие от общепринятых представлений, ответственным за катализитическое гидрирование является не гидридный комплекс палладия, а кластер $(PPh)_2Pd_5$, выделенный в индивидуальном виде и охарактеризованный элементным анализом и

методами РЭС и ИК-спектроскопии.

5. Ответственный за катализ гидрирования кластер $(PPh_3)_2 Pd_5$ образуется при взаимодействии комплекса $(Ph_3P)_2 Pd_2$ и $HOAc$ со смесью водорода и кислорода. В этих условиях из H_2 и O_2 возникает перекись водорода, окисляющая в присутствии $HOAc$ комплекс $(Ph_3P)_2 Pd_2$ до ацетата палладия. Последний при реакции с $(Ph_3P)_2 Pd_2$ и H_2 дает $(PPh_3)_2 Pd_5$.

6. Обнаружена способность растворов $(PPh_3)_2 Pd_5$ в ДМЭА катализировать при $20 \pm 40^\circ$ и I атм гидрирование широкого круга органических соединений: диенов, ацетиленов, олефинов, нитросоединений, нитрозосоединений, оснований Шиффа, азосоединений, органических перекисей, хинонов, альдегидов и O_2 .

7. Найдено, что растворы $(PPh_3)_2 Pd_5$ в ДМЭА при 70° и I атм O_2 катализируют необычную для гомогенного катализа реакцию окисительно-дегидрирования циклогексана кислородом в бензол. Результаты исследования кинетики согласуются со схемой, включающей обратимое образование комплекса $(PPh_3)_2 Pd_5$ с C_6H_{10} , медленный разрыв $C-H$ связи координированного циклогексана и реакцию образующегося при этом комплекса с O_2 , приводящую к C_6H_6 и регенерации $(PPh_3)_2 Pd_5$. Продукт реакции C_6H_6 обратимо взаимодействует с $(PPh_3)_2 Pd_5$, образуя комплекс, неактивный в дегидрировании C_6H_{10} . Рассчитаны значения констант равновесия $(PPh_3)_2 Pd_5$ с C_6H_{10} и C_6H_6 и константа скорости реакции.

8. Разработан кластерный катализатор для процесса селективного гидрирования ацетиленов в пирогазе и предложена методика приготовления контактного раствора. На основании пилотных испытаний установлено, что катализатор проявляет высокую активность, селективность и стабильность в процессе эксплуатации. По данным Куйбышевского завода синтетического спирта, для которого проводилась разработка катализатора, ожидаемый экономический эффект от его внедрения составит 470 тыс. рублей.

Основное содержание диссертации изложено в работах:

1. Беренблум А.С., Книжник А.Г., Мунд С.Л., Моисеев И.И. Активация молекулярного водорода комплексами переходных металлов. Сообщение I. Автокатализ в гидрировании $[Ph_3PPd(OAc)_2]_2$. - Изв. АН СССР. Сер. хим., 1978, № 12, с. 2711-2715.
2. Беренблум А.С., Книжник А.Г., Мунд С.Л., Моисеев И.И. Активация молекулярного водорода комплексами переходных металлов. Сообщение 2. Образование комплексов палладия (0) и (I) со связью металл-металл при гидрогенолизе $[Ph_3PPd(OAc)_2]_2$. - Изв. АН СССР. Сер. хим., 1979, № 8, с. 1687-1690.
3. Беренблум А.С., Книжник А.Г., Лахман Л.И., Моисеев И.И. Образование гидридных комплексов родия в системе трис(трифенилфосфин)ацетатородий - молекулярный водород - уксусная кислота. - Изв. АН СССР. Сер. хим., 1977, № II, с. 2584-2586.
4. Nefedov V.I., Moiseev I.I., Salyn ja.V., Sadowski A.P., Berenbljum A.S., Knizhnik A.G., Mund S.L. ESCA and X-ray Spectral Study of Pd(0), Pd(I) and Pd(II) Compounds with Triphenylphosphine Ligands. - Inorg. Chim. Acta, 1979, v.35, p. L343.
5. Беренблум А.С., Книжник А.Г., Мунд С.Л., Моисеев И.И. Кластеры палладия в катализе гидрирования ненасыщенных соединений - Тезисы докладов XIII Всесоюзного Чугаевского совещания по химии комплексных соединений. М., 1978, с. 41.
6. Беренблум А.С., Книжник А.Г., Мунд С.Л., Моисеев И.И. Комpleксы палладия в катализе дегидрирования олеинов и гидрирования альдегидов. - Тезисы докладов I Всесоюзной конференции по металлоорганической химии. М., 1979, № 297.
7. Беренблум А.С., Книжник А.Г., Мунд С.Л., Моисеев И.И. Новый полиддерный комплекс $(PPh_3)_2Pd_5$ - Изв. АН СССР. Сер. хим., 1979, № 9, с. 2157.
8. Беренблум А.С., Книжник А.Г., Мунд С.Л., Моисеев И.И. Окислительное дегидрирование циклогексена киелородом в бензол, катализируемое кластером палладия. Изв. АН СССР. Сер. хим., 1980, № 12 с. 2700-2704.